

Нелинейный отклик суперпарамагнитных частиц с кубической анизотропией на мгновенное изменение сильного постоянного магнитного поля

© Ю.П. Калмыков, С.В. Титов*

Centre d'Etudes Fondamentales, Université de Perpignan,
66860 Perpignan Cedex, France

* Институт радиотехники и электроники Российской академии наук,
141190 Фрязино, Московская обл., Россия

E-mail: kalmykov@univ-perp.fr, svt245@ire216.msk.su

(Поступила в Редакцию 19 сентября 2001 г.
В окончательной редакции 4 февраля 2002 г.)

Проанализирован нелинейный отклик суперпарамагнитных частиц с кубической анизотропией на мгновенное изменение сильного постоянного магнитного поля. Рассчитаны спектр релаксационной функции и время релаксации намагниченности для типичных значений параметров анизотропии и диссипации.

Работа выполнена при поддержке Российского фонда фундаментальных исследований (проект № 01-02-16050).

1. Однодоменные ферромагнитные частицы характеризуются внутренним анизотропным потенциалом с несколькими минимумами, разделенными барьерами. Если размеры частиц малы (~ 10 nm), то барьеры относительно низкие. В этом случае вектор намагниченности $\mathbf{M}(t)$ может переориентироваться через барьеры из-за тепловых флуктуаций. Тепловая нестабильность намагниченности обуславливает явление суперпарамагнетизма [1], поскольку каждая частица ведет себя как парамагнитный атом с магнитным моментом $\sim 10^4 - 10^5$ магнетонов Бора. В силу большого магнитного дипольного момента энергия зеемановского взаимодействия даже в умеренных внешних полях \mathbf{H}_0 может быть сравнима с тепловой энергией kT . Это означает, что при анализе релаксации намагниченности в переменных внешних полях необходимо учитывать нелинейные эффекты [2–4]. До недавнего времени была достаточно хорошо развита только теория линейного отклика суперпарамагнитных частиц в слабых магнитных полях. Ввиду сложности задачи теория нелинейного отклика была разработана существенно слабее, в основном с использованием теории возмущений (см., например, [5–8]). Определенный прогресс в исследовании нелинейных эффектов был достигнут в [9–11]: в [9,10] рассматривалась кинетика частиц с одноосной анизотропией в сильных переменных полях, а в [11] исследовался нелинейный отклик таких частиц на мгновенные изменения сильного внешнего постоянного магнитного поля. Целью данной работы является распространение результатов [11] на случай частиц с кубической анизотропией, т.е. исследование кинетики намагниченности при мгновенном изменении как напряженности, так и направления сильного постоянного внешнего магнитного поля.

2. Пусть внешнее постоянное магнитное поле мгновенно изменяется в момент времени $t = 0$ с \mathbf{H}_I на \mathbf{H}_{II} . Рассмотрим релаксацию вектора намагниченности $\mathbf{M}(t)$ системы невзаимодействующих суперпарамагнитных ча-

стиц из равновесного состояния I (соответствующего полю \mathbf{H}_I) с функцией распределения $W_I (t \leq 0)$ в равновесное состояние II (соответствующее полю \mathbf{H}_{II}) функцией распределения $W_{II} (t \rightarrow \infty)$. Динамика проекции M_r вектора намагниченности $\mathbf{M}(t)$ на произвольное направление, определяемое единичным вектором $\mathbf{r} = (v_x, v_y, v_z)$, описывается нормированной релаксационной функцией

$$f(t)_{II} = \frac{\langle M_r \rangle(t) - \langle M_r \rangle_{II}}{\langle M_r \rangle_I - \langle M_r \rangle_{II}}. \quad (1)$$

Угловые скобки с индексами I и II обозначают усреднение по равновесным функциям распределения W_I и W_{II} , а угловые скобки без индекса – усреднение по реализациям случайной величины $M_r(t)$. Данная задача является существенно нелинейной, так как амплитуда изменения внешнего магнитного поля предполагается произвольной.

При рассмотрении релаксационных процессов в системах суперпарамагнитных частиц, как правило, используется диффузионное приближение Брауна [2]. Применительно к сформулированной выше задаче нелинейный отклик системы в рамках диффузионного приближения описывается уравнением Фоккера–Планка для плотности вероятности распределения $W(\mathbf{M}, t)$ намагниченности [2]

$$2\tau_N \frac{\partial}{\partial t} W = \Delta W + \beta [\alpha^{-1} \mathbf{u}(\nabla V_{II} \times \nabla W) + \nabla(W \nabla V_{II})], \quad (2)$$

$$t > 0,$$

с начальным условием $W(\mathbf{M}, 0) = W_I$. Здесь Δ и ∇ — операторы Лапласа и градиента на поверхности единичной сферы, $\tau_N = \beta M_s (1 + \alpha^2) / (2\gamma\alpha)$ — характеристическое (диффузионное) время, $\beta = v/kT$, v — объем частицы, M_s — намагниченность материала частицы, γ — гиромагнитное отношение, $\alpha = \gamma\eta M_s$ и η — соответственно безразмерный и размерный коэффициенты

диссипации, характеризующие интенсивность тепловых флуктуаций намагниченности, \mathbf{u} — единичный вектор вдоль вектора намагниченности $\mathbf{M}(t)$, V_{II} — плотность свободной эрегии частицы в состоянии II, которая для частиц с кубической анизотропией имеет вид [12]

$$\beta V_{II} = \sigma (\sin^4 \theta \sin^2 2\varphi + \sin^2 2\theta) - \xi_{II} \cos \theta. \quad (3)$$

Здесь θ и φ — полярный и азимутальный углы соответственно, σ и $\xi_{II} = \beta M_s H_{II}$ — безразмерные константа анизотропии и параметр поля. Уравнение Фоккера–Планка (2) выводится из уравнения Гильберта [2] с флуктуирующим полем, которое учитывает тепловые флуктуации намагниченности индивидуальной частицы, что в свою очередь определяет релаксацию. Динамика вектора намагниченности $\mathbf{M}(t)$ частицы уподобляется безынерционному броуновскому вращению молекулы в жидкости, которое описывается аналогичным уравнением Фоккера–Планка (уравнением Смолуховского) с тем лишь отличием, что отсутствует член $\sim \alpha^{-1}$, обуславливающий прецессию вектора намагниченности (ввиду различной природы взаимодействия электрического и магнитного полей соответственно с электрическим диполем молекулы и вектором намагниченности суперпарамагнитной частицы). Обсуждение области применимости уравнений Гильберта и Фоккера–Планка можно найти, например, в [2,13].

Уравнение Фоккера–Планка (2) может быть формально решено [14] путем разложения функции распределения W в ряд по сферическим гармоникам $Y_{l,m}(\theta, \varphi)$ [15]. При таком подходе задача сводится к решению бесконечной системы рекуррентных уравнений для усредненных сферических гармоник (моментов) [16,17]. Эту систему уравнений можно также получить путем усреднения уравнения Гильберта без использования уравнения Фоккера–Планка [16,17]. В обоих случаях результирующее уравнение для релаксационный функций $c_{l,m}(t) = \langle Y_{l,m} \rangle(t) - \langle Y_{l,m} \rangle_{II}$ имеет вид [11]

$$\frac{d}{dt} c_{l,m}(t) = \sum_{l'} \sum_s d_{l',m\pm s,l,m} c_{l',m\pm s}(t) \quad (4)$$

с начальными условиями $c_{l,m}(0) = \langle Y_{l,m} \rangle_I - \langle Y_{l,m} \rangle_{II}$. Коэффициенты $d_{l',m',l,m}$ для случая кубической анизотропии приведены, например, в [12,18,19].

Рекуррентное уравнение (4) для нелинейного отклика имеет ту же структуру, что и в случае линейного отклика [12]. Поэтому оно может быть решено тем же методом матричных непрерывных дробей, который использовался в [12], т. е. выражение (4) можно преобразовать в трехчленное векторное рекуррентное уравнение вида

$$\tau_N \frac{d}{dt} \mathbf{C}_n(t) = \mathbf{Q}_n^- \mathbf{C}_{n-1}(t) + \mathbf{Q}_n \mathbf{C}_n(t) + \mathbf{Q}_n^+ \mathbf{C}_{n+1}(t), \quad n = 1, 2, 3, \dots, \quad (5)$$

где матрицы $\mathbf{Q}_n, \mathbf{Q}_n^+, \mathbf{Q}_n^-$ определены в [12], а векторы

$$\mathbf{C}_n(t) = \begin{pmatrix} c_{4n}(t) \\ c_{4n-1}(t) \\ c_{4n-2}(t) \\ c_{4n-3}(t) \end{pmatrix}$$

(за исключением $\mathbf{C}_0(t) = 0$) состоят из четырех подвекторов

$$c_{4n-i}(t) = \begin{pmatrix} c_{4n-i, -4(n-1+\delta_{i0})}(t) \\ c_{4n-i, -4(n-2+\delta_{i0})}(t) \\ \vdots \\ c_{4n-i, 4(n-1+\delta_{i0})}(t) \end{pmatrix}, \quad i \geq 1.$$

Согласно [20], с помощью одностороннего преобразования Фурье решение уравнения (5) может быть выражено через матричные непрерывные дроби

$$\tilde{\mathbf{C}}_1(\omega) = \int_0^\infty \mathbf{C}_1(t) e^{-i\omega t} dt = \tau_N \Delta_1(\omega) \times \left\{ \mathbf{C}_1(0) + \sum_{n=2}^\infty \left(\prod_{k=2}^n \mathbf{Q}_{k-1}^+ \Delta_k(\omega) \right) \mathbf{C}_n(0) \right\}, \quad (6)$$

где матричная непрерывная дробь $\Delta_n(\omega)$ определяется как

$$\Delta_n(\omega) = \frac{\mathbf{I}}{i\omega\tau_N \mathbf{I} - \mathbf{Q}_n - \mathbf{Q}_n^+ \frac{\mathbf{I}}{i\omega\tau_N \mathbf{I} - \mathbf{Q}_{n+1} - \mathbf{Q}_{n+1}^+ \frac{\mathbf{I}}{i\omega\tau_N \mathbf{I} - \mathbf{Q}_{n+2} - \mathbf{Q}_{n+2}^+ \dots}}}. \quad (7)$$

$$\tilde{f}(\omega) = \frac{\sqrt{2}v_z c_{1,0}(\omega) + (v_x + iv_y) \tilde{c}_{1,-1}(\omega) - (v_x - iv_y) \tilde{c}_{1,1}(\omega)}{\sqrt{2}v_z c_{1,0}(0) + (v_x + iv_y) c_{1,-1}(0) - (v_x - iv_y) c_{1,1}(0)}, \quad (7)$$

а также интегральное время релаксации

$$\tau = \int_0^\infty f(t) dt = \tilde{f}(0) \quad (8)$$

3. Далее для простоты ограничимся случаем, когда внешнее поле направлено вдоль оси Z лабораторной системы координат. В этом случае $v_x = v_y = 0, v_z = 1$ и анализ существенно упрощается, так как отклик обусловлен только поведением $c_{1,0}(t)$. Функция $c_{1,0}(t)$ является элементом вектора $\mathbf{C}_1(t)$ в (6); ее можно определить через собственные значения λ_k оператора Фоккера–Планка как [14]

$$c_{1,0}(t) = \sum_k c_k e^{-\lambda_k t}.$$

Соответственное время релаксации (8) можно определить в виде

$$\tau = \frac{\sum_k c_k / \lambda_k}{\sum_k c_k}. \quad (9)$$

В общем случае рассчитать τ из (9) затруднительно, так как требуется знание всех λ_k и весовых коэффициентов c_k . В используемом нами подходе [11] τ вычисляется из (8) с помощью матричных непрерывных дробей, а λ_k и c_k не используются. Однако, как было показано на многих примерах, оба подхода приводят к одинаковым результатам для $c_{1,0}(t)$ и τ (см., например, [4,20]). Что касается физической интерпретации, то использование собственных значений весьма удобно, так как каждому собственному значению λ_k соответствует определенная частота (мода), характеризующая динамику вектора намагниченности. Во многих случаях время релаксации τ определяется самой медленной низкочастотной модой, соответствующей наименьшему собственному значению λ_1 и характеризующей переходы вектора намагниченности через потенциальный барьер из одного равновесного состояния в другое. Поведение τ и λ_1^{-1} часто подобно, но при определенных условиях, как, например, в рассматриваемом случае, может существенно различаться [20,21].

4. Расчеты показали, что нелинейный отклик частиц с кубической анизотропией зависит от параметра диссипации α , что обусловлено взаимодействием продольных и поперечных (прецессионных) мод. Однако качественно эта зависимость аналогична случаю линейного отклика, который подробно исследован в [12]. Оценки α дают значения $\sim 0.01-0.1$. В данной работе для определенности расчеты были проведены при $\alpha = 0.1$. Зависимость времени релаксации τ от σ и $h = h_{II} = h_I/2$ при мгновенном уменьшении напряженности внешнего сильного

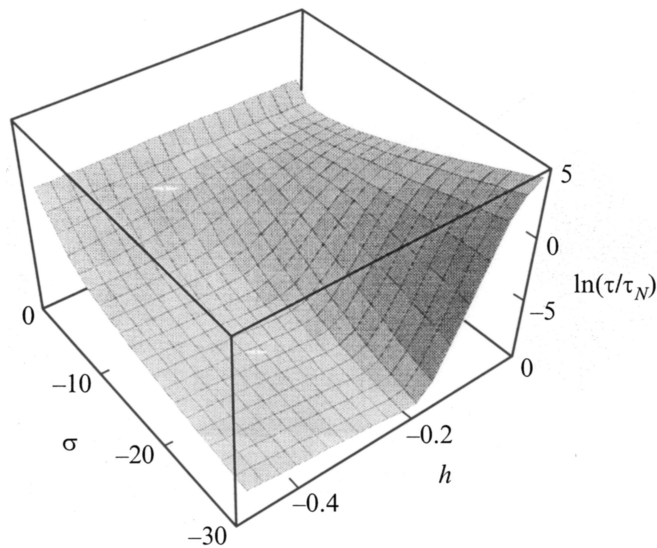


Рис. 1. Зависимость $\ln(\tau/\tau_N)$ от σ ($\sigma < 0$) и $h = h_{II} = h_I/2$ при мгновенном уменьшении напряженности внешнего поля в 2 раза.

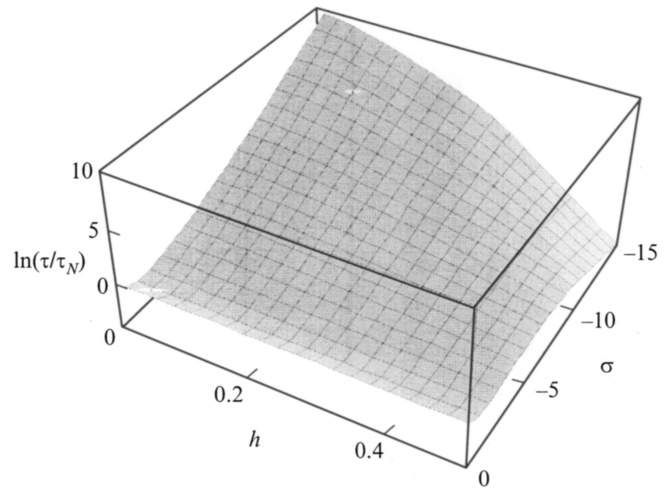


Рис. 2. Зависимость $\ln(\tau/\tau_N)$ от σ ($\sigma > 0$) и $h = h_{II} = h_I/2$ при мгновенном уменьшении напряженности внешнего поля в 2 раза

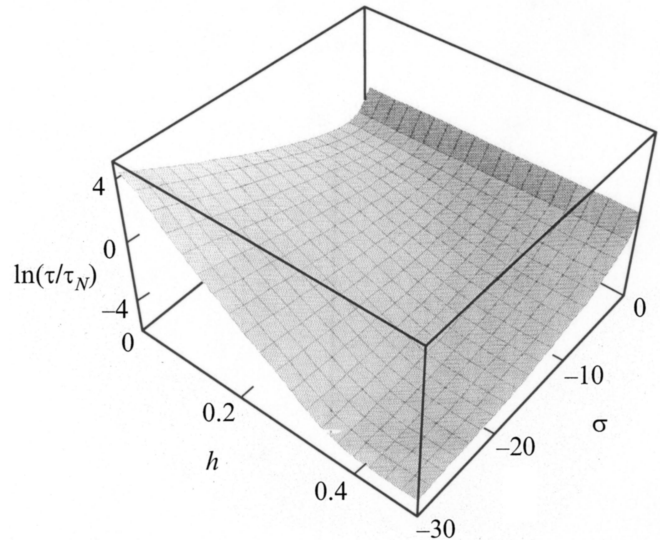


Рис. 3. Зависимость $\ln(\tau/\tau_N)$ от σ ($\sigma < 0$) и $h = h_{II} = -h_I$ при мгновенном изменении направления внешнего поля на противоположное.

поля в 2 раза показана на рис. 1 для $\sigma < 0$ и рис. 2 для $\sigma > 0$. Зависимость τ от σ и $h = h_{II} = -h_I$ при мгновенном изменении направления поля на противоположное приведена на рис. 3 для $\sigma < 0$. Из этих результатов видно, что при малых значениях h зависимость τ от параметра σ имеет активационный характер, т. е. наблюдается экспоненциальное возрастание времени релаксации τ с ростом потенциального барьера между устойчивыми состояниями свободной энергии частицы, характеризуемого параметром σ . Однако при дальнейшем увеличении h время τ начинает уменьшаться с ростом σ . Другими словами, при значениях параметра h , больших некоторого критического значения h_c , зависимость интегрального времени релаксации τ от величины потенциального барьера теряет активационный

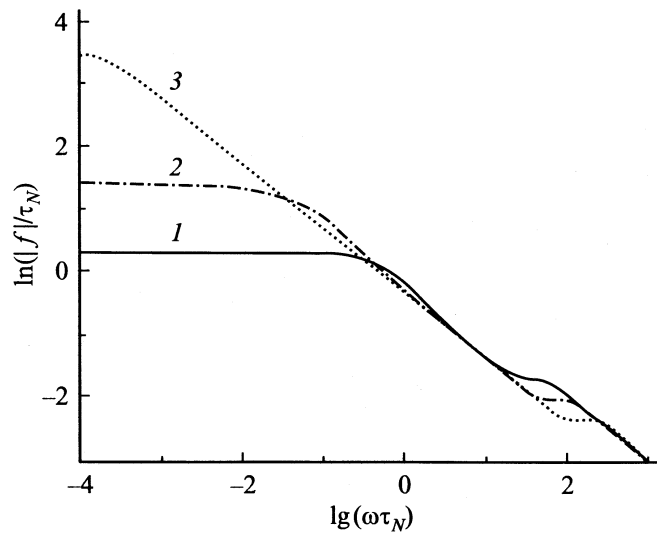


Рис. 4. Зависимость $\ln(|\tilde{f}|/\tau_N)$ от $\lg(\omega\tau_N)$ при мгновенном включении сильного постоянного магнитного поля ($h_I = 0$, $h_{II} = 0.3$) для $\sigma = 5$ (1), 10 (2) и 20 (3).

характер. Этот эффект, являющийся общим свойством переходов броуновских частиц через потенциальный барьер между двумя устойчивыми состояниями равновесия в сильном внешнем постоянном поле [21,23], обусловлен обеднением населенности верхнего состояния. Как следствие переходы через потенциальный барьер из верхнего состояния в нижнее больше не определяют время релаксации; основной вклад вносят высокочастотные „внутриямные“ (intra-well) моды в нижнем устойчивом состоянии. В случае линейного отклика суперпарамагнетиков эффект детального исследования как для одноосных частиц [4,21], так и для частиц с кубической анизотропией [12].

Спектр модуля релаксационной функции $|\tilde{f}|$ в случае мгновенного включения сильного поля ($h_I = 0$, $h_{II} = h$) представлен на рис. 4 для $\sigma > 0$. При этом в спектре $|\tilde{f}|$ наблюдаются две полосы. Частота и полуширина низкочастотной полосы определяются обратным значением среднего времени жизни намагниченности в верхнем устойчивом состоянии (λ_1^{-1}). Высокочастотная полоса обусловлена „внутриямными“ модами, характеризующими высокочастотную динамику вектора намагниченности в локальных состояниях временного равновесия. Как и в случае линейного отклика [12], при уменьшении величины параметра диссипации ($\alpha \leq 0.01$) в спектре нелинейной релаксационной функции начинает проявляться полоса на прецессионной частоте вектора намагниченности; характеристическая частота этой полосы соответствует частоте прецессии вектора \mathbf{M} и увеличивается с уменьшением α как α^{-1} .

Используемый подход позволяет также рассчитывать характеристики линейного отклика системы суперпарамагнитных частиц с кубической анизотропией на малые мгновенные изменения величины постоянного поля \mathbf{H}_I . В данном случае ($h_{II} = h_I - \varepsilon$ при $\varepsilon \rightarrow 0$) функция ре-

лаксации $f(t)$ совпадает с нормализованной продольной равновесной корреляционной функцией намагниченности $C_{||}(t)$ в состоянии I:

$$f(t) = C_{||}(t) = \frac{\langle \cos \theta(0) \cos \theta(t) \rangle_I - \langle \cos \theta(0) \rangle_I^2}{\langle \cos^2 \theta(0) \rangle_I - \langle \cos \theta(0) \rangle_I^2}. \quad (10)$$

Таким образом, в соответствии с теорией линейной реакции можно рассчитать продольную линейную восприимчивость

$$\chi_{||}(\omega) \propto C_{||}(0) - i\omega \int_0^{\infty} C_{||}(t) e^{-i\omega t} dt. \quad (11)$$

Следует заметить, что как и в случае одноосных частиц [11], значение интегрального времени релаксации в случае нелинейного отклика из состояния I в II может существенно отличаться от интегрального времени релаксации линейного отклика в состояниях I и II.

Авторы благодарны В.Т. Коффи (Тринити Колледж, Дублин) за замечания и предложения.

Список литературы

- [1] L. Néel. Ann. Geophys. **5**, 1, 99 (1949).
- [2] W.F. Brown, Jr. IEEE Trans. Magn. **15**, 5, 1196 (1979).
- [3] Д.А. Гаранин, В.В. Ищенко, Л.В. Панина. ТМФ **82**, 2, 242 (1990).
- [4] W.T. Coffey, D.S.F. Crothers, Yu.P. Kalmykov, J.T. Waldron. Phys. Rev. **B51**, 22, 15 947 (1995).
- [5] Э.К. Садьков, А.Г. Исавнин. ФТТ **38**, 7, 2104 (1997).
- [6] Yu.L. Raikher, V.I. Stepanov. Phys. Rev. **B55**, 22, 15 005 (1997).
- [7] Yu.L. Raikher, V.I. Stepanov, A.N. Grigirenko, P.I. Nikitin. Phys. Rev. **B56**, 6, 6400 (1997).
- [8] J.L. Garcia-Palacios, P. Svedlindh. Phys. Rev. Lett. **85**, 17, 3724 (2000).
- [9] Yu.L. Raikher, V.I. Stepanov. Phys. Rev. Lett. **86**, 10, 1923 (2001).
- [10] Ю.Л. Райхер, В.И. Степанов. ФТТ **43**, 2, 270 (2001).
- [11] Ю.П. Калмыков, С.В. Титов. ФТТ **42**, 5, 893 (2000).
- [12] Yu.P. Kalnykov. Phys. Rev. **B61**, 9, 6205 (2000).
- [13] Yu.L. Raikher, M.I. Shliomis. Adv. Chem. Phys. **87**, 595 (1994).
- [14] L.J. Geoghegan, W.T. Coffey, B. Mulligan. Adv. Chem. Phys. **100**, 475 (1997).
- [15] D.A. Varshalovich, A.N. Moskalev, V.K. Khersonskii. Quantum Theory of Angular Momentum. World Scientific, Singapore (1998).
- [16] Yu.P. Kalmykov, S.V. Titov. Phys. Rev. Lett. **82**, 14, 2967 (1999).
- [17] Ю.П. Калмыков, С.В. Титов. ФТТ **41**, 11, 2020 (1999).
- [18] Yu.P. Kalmykov, S.V. Titov, W.T. Coffey. Phys. Rev. **B58**, 6, 3267 (1998).
- [19] Ю.П. Калмыков, С.В. Титов. ЖЭТФ **115**, 1, 101 (1998).
- [20] W.T. Coffey, Yu.P. Kalmykov, J.T. Waldron. The Langevin Equation. World Scientific, Singapore (1996).
- [21] D.A. Garanin. Phys. Rev. **E54**, 4, 3250 (1996).
- [22] Yu.P. Kalmykov, J.L. Déjardin, W.T. Coffey. Phys. Rev. **E55**, 3, 2509 (1997).